

บทที่ 7

ผลการวิจัย

ข้อมูลพื้นฐาน

รวบรวมผู้ป่วยที่เข้าเกณฑ์การวิจัยทั้งหมด 118 คน โดยต้องคัดออกจากการวิจัยจำนวน 20คน คงเหลือผู้ป่วยที่สามารถประเมินได้ทั้งสิ้น 98 คน

ผู้ป่วย 20 คน ไม่สามารถประเมินได้ ต้องตัดออกจากการวิจัย เนื่องจากเข้าเกณฑ์การตัดออกในภายหลัง 2 คน จากการที่ผู้ป่วยเป็นมะเร็งปอดและมะเร็งตับ และต้องได้รับยาเคมีบำบัด และอีก 18 คน ไม่ได้ทำการตรวจเลือดหาค่าฮีโมโกลบินก่อนกลับบ้านภายใน 24 - 48 ชั่วโมง เพื่อยืนยันว่าไม่เกิดภาวะโลหิตจางจริง ตามวิธีดำเนินการวิจัย

ผู้ป่วยทั้ง 98 คน กระจายตามหอผู้ป่วยต่าง ๆ ใกล้เคียงกัน ตามสัดส่วนของจำนวนผู้ป่วยที่เข้ารับการรักษา (ตารางที่ 10, 11 และแผนภูมิที่ 3) แบ่งเป็นเพศชาย 55 คน และเพศหญิง 43 คน

ตารางที่ 10 แสดงการกระจายของข้อมูลผู้ป่วยตามหอผู้ป่วยต่าง ๆ

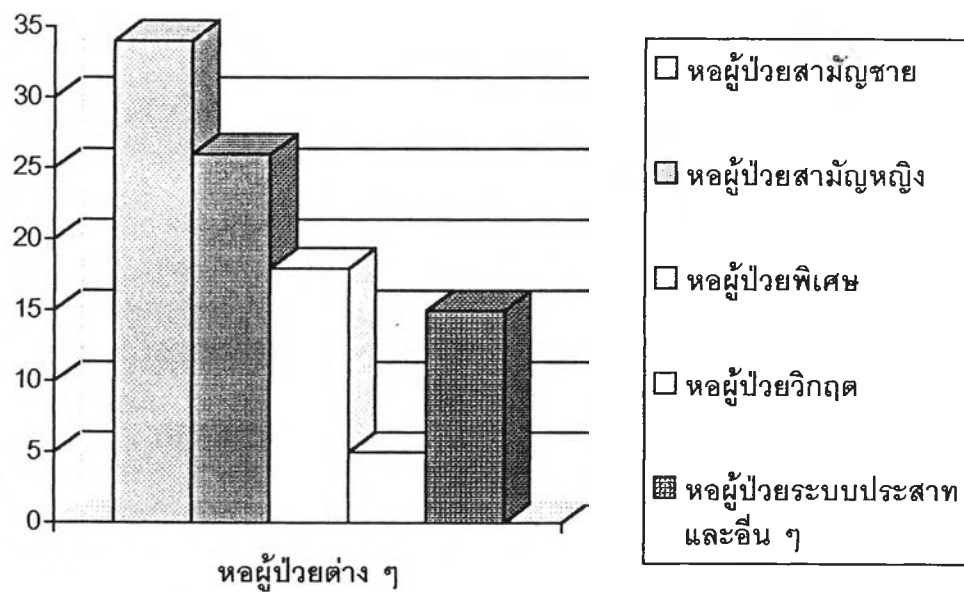
| หอผู้ป่วย | จำนวน (คน) | ร้อยละ |
|--|------------|--------|
| อายุรศาสตร์ 3 | 18 | 18.4 |
| วชิราวุธล่าง | 16 | 16.3 |
| อายุรศาสตร์ 2 | 10 | 10.2 |
| หลิมาชีลินล่าง | 16 | 16.3 |
| พร้อมพันธุ์ 2 | 13 | 13.3 |
| ภปร. | 5 | 5.1 |
| ธนาคารกรุงเทพฯ 3 | 13 | 13.3 |
| หอผู้ป่วยวิกฤต | 5 | 5.1 |
| อื่น ๆ (พร้อมพันธุ์ 3, อายุรศาสตร์ 4, วชิรญาณวงศ์ 3) | 2 | 2.0 |
| รวม | 98 | 100.0 |

ตารางที่ 11 แสดงการกระจายของข้อมูลผู้ป่วยแบ่งตามประเภทของหอผู้ป่วย

| หอผู้ป่วย | จำนวน (คน) | ร้อยละ |
|---|------------|--------|
| หอผู้ป่วยสามัญชาย (อายุรศาสตร์ 3, วชิรารูธล่าง) | 34 | 34.7 |
| หอผู้ป่วยสามัญหญิง (อายุรศาสตร์ 2, หลิมซีลันล่าง) | 26 | 26.5 |
| หอผู้ป่วยพิเศษ (พร้อมพันธู์ 2, ภปร.) | 18 | 18.4 |
| หอผู้ป่วยวิกฤต | 5 | 5.1 |
| หอผู้ป่วยระบบประสาท และอื่น ๆ (ธนาคารกรุงเทพ 3, อื่น ๆ) | 15 | 15.3 |
| รวม | 98 | 100.0 |

แผนภูมิที่ 3 แสดงการกระจายของข้อมูลผู้ป่วยแบ่งตามประเภทของหอผู้ป่วย

จำนวน (คน)

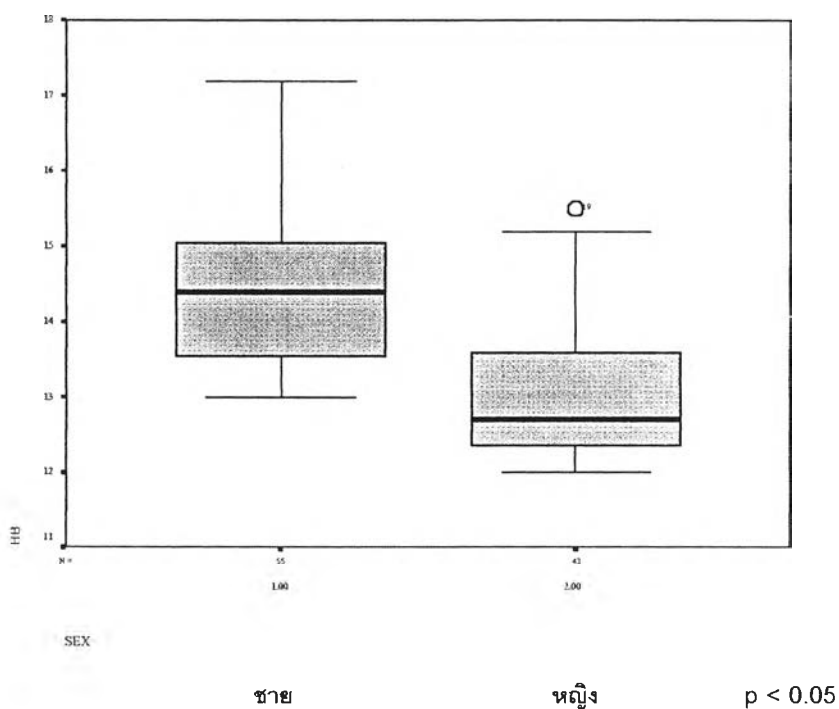


อายุเฉลี่ย จำนวนวันที่อยู่รักษาในโรงพยาบาลเฉลี่ย ระหว่างเพศชายและเพศหญิง ไม่แตกต่างกัน มีเพียงค่าฮีโมโกลบินแรกรับเฉลี่ยที่แตกต่างกันอย่างมีนัยสำคัญทางสถิติ โดยเพศชายมีค่ามากกว่าเพศหญิง (ตารางที่ 12 และแผนภูมิที่ 4)

ตารางที่ 12 แสดงข้อมูลพื้นฐานของผู้ป่วยจำแนกตามเพศ

| เพศ | จำนวนตัวอย่าง (n) | ค่าเฉลี่ยเลขคณิต (Mean) | ส่วนเบี่ยงเบนมาตรฐาน (Std. Deviation) | ค่าระดับนัยสำคัญ (p - value) |
|--|-------------------|-------------------------|---------------------------------------|------------------------------|
| ฮีโมโกลบินแรกรับเฉลี่ย (กรัมต่อเดซิลิตร) | ชาย 55 หญิง 43 | 14.4945 13.0023 | 1.0603 0.8844 | < 0.05 |
| อายุเฉลี่ย (ปี) | ชาย 54 หญิง 43 | 54.2593 55.8605 | 20.0840 18.2556 | 0.682 |
| ระยะเวลาอยู่โรงพยาบาลเฉลี่ย (วัน) | ชาย 55 หญิง 43 | 21.1091 23.1628 | 16.3522 24.1434 | 0.634 |

แผนภูมิที่ 4 แสดงค่าฮีโมโกลบินเฉลี่ยแรกรับจำแนกตามเพศ



ผู้ป่วยส่วนใหญ่ได้รับการวินิจฉัยโรคติดเชื้อ รองลงมาได้แก่โรคอัมพาตจากเส้นเลือดในสมองตีบ และโรคหัวใจตามลำดับ (ตารางที่ 13)

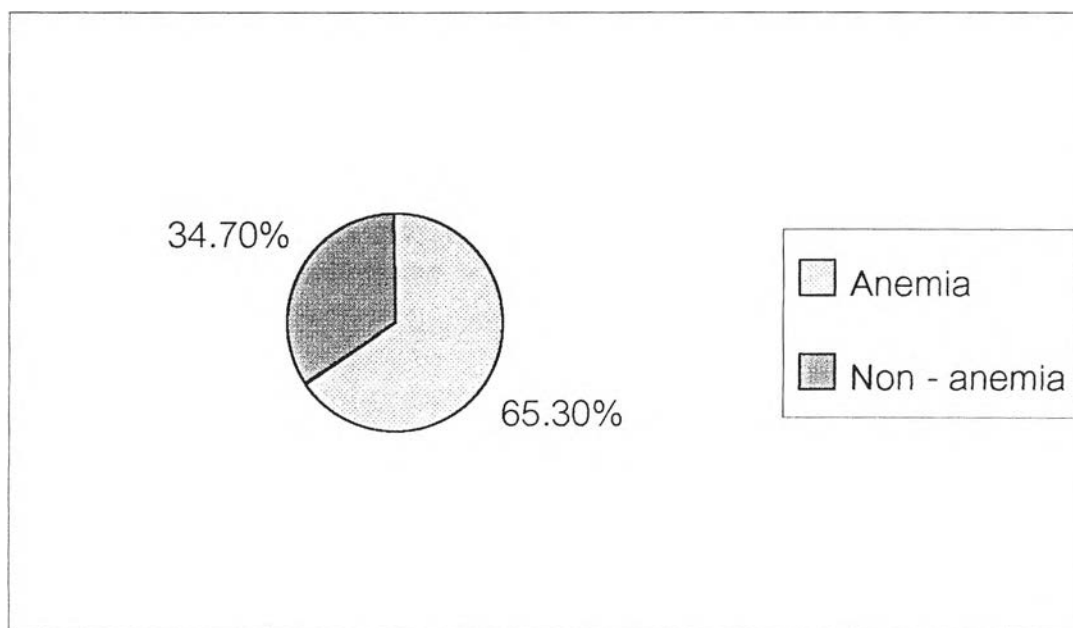
ตารางที่ 13 แสดงการวินิจฉัยโรคของผู้ป่วยทั้งหมด

| การวินิจฉัยโรค | จำนวน (คน) | ร้อยละ |
|---|------------|--------------|
| โรคติดเชื้อ | 35 | 35.7 |
| โรคอัมพาตจากเส้นเลือดในสมองตีบ | 15 | 15.3 |
| โรคหัวใจ | 14 | 14.3 |
| โรคถุงลมโป่งพอง | 5 | 5.1 |
| โรคเอสแอลอี | 3 | 3.1 |
| โรคมะเร็ง (ไม่ใช่มะเร็งของไขกระดูก และไม่ได้รับยาเคมีบำบัด) | 2 | 2.0 |
| อื่น ๆ | 24 | 24.5 |
| รวม | 98 | 100.0 |

อุบัติการณ์ของภาวะโลหิตจาง

เกิดภาวะโลหิตจางในโรงพยาบาลทั้งสิ้น 64 คน จากผู้ป่วย 98 คน คิดเป็น 65.3 %
(แผนภูมิที่ 5)

แผนภูมิที่ 5 แสดงสัดส่วนของผู้ป่วยที่เกิดภาวะโลหิตจาง



กลุ่มผู้ป่วย 64 คน ที่เกิดภาวะโลหิตจางมีค่าฮีโมโกลบินแรกรับเฉลี่ย 13.61 กรัมต่อเดซิลิตร ค่าฮีโมโกลบินต่ำสุดเฉลี่ย 9.96 กรัมต่อเดซิลิตร จำนวนวันมัธยฐาน (Median) ที่เริ่มตรวจพบภาวะโลหิตจางอยู่ที่ 5 วัน และปริมาณฮีโมโกลบินที่ลดลงมากที่สุดเฉลี่ย 3.64 กรัมต่อเดซิลิตร

กลุ่มผู้ป่วย 34 คน ที่ไม่เกิดภาวะโลหิตจางมีค่าฮีโมโกลบินแรกรับเฉลี่ย 14.28 กรัมต่อเดซิลิตร ค่าฮีโมโกลบินเฉลี่ยก่อนออกจากโรงพยาบาล 13.86 กรัมต่อเดซิลิตร ในจำนวนนี้มีผู้ป่วย 14 คน ที่ค่าฮีโมโกลบินไม่ได้ลดลง แต่คงเดิม หรือเพิ่มขึ้นเล็กน้อย (ตารางที่ 14)

ตารางที่ 14 แสดงการเปลี่ยนแปลงของค่าฮีโมโกลบินเฉลี่ย และระยะเวลาที่เริ่มพบภาวะโลหิตจางเฉลี่ย

| ค่าฮีโมโกลบินเฉลี่ยและระยะเวลาที่เริ่มพบโลหิตจาง | กลุ่มที่เกิดภาวะโลหิตจาง (กรัมต่อเดซิลิตร) | กลุ่มที่ไม่เกิดภาวะโลหิตจาง (กรัมต่อเดซิลิตร) |
|--|---|--|
| ค่าฮีโมโกลบินแรกพบเฉลี่ย | 13.61 | 14.28 |
| ค่าฮีโมโกลบินต่ำสุดเฉลี่ย | 9.96 | - |
| ระดับฮีโมโกลบินลดลงมากที่สุดเฉลี่ย | 3.64 | - |
| ค่าฮีโมโกลบินก่อนออกจากโรงพยาบาลเฉลี่ย | 10.81 | 13.86 |
| ค่ามัธยฐานระยะเวลาที่เริ่มพบโลหิตจาง (วัน) | 5 | - |

ระยะเวลาที่อยู่ในโรงพยาบาลเฉลี่ย และฮีโมโกลบินแรกพบเฉลี่ยมีความแตกต่างอย่างมีนัยสำคัญทางสถิติระหว่างผู้ป่วยกลุ่มที่เกิดภาวะโลหิตจาง และกลุ่มที่ไม่เกิดภาวะโลหิตจาง โดยผู้ป่วยกลุ่มที่เกิดโลหิตจางมีฮีโมโกลบินแรกพบเฉลี่ยต่ำกว่า และอยู่ในโรงพยาบาลนานกว่ากลุ่มที่ไม่เกิดภาวะโลหิตจางอย่างมีนัยสำคัญทางสถิติ โดยอายุเฉลี่ยของผู้ป่วยทั้งสองกลุ่มไม่ต่างกัน (ตารางที่ 15)

ตารางที่ 15 แสดงอายุเฉลี่ย, ระยะเวลาที่อยู่ในโรงพยาบาลเฉลี่ย และค่าฮีโมโกลบินแรกพบเฉลี่ยเปรียบเทียบระหว่างกลุ่มผู้ป่วยที่เกิดภาวะโลหิตจาง และกลุ่มที่ไม่เกิดภาวะโลหิตจาง

| | จำนวน ตัวอย่าง (n) | ค่าเฉลี่ยเลข คณิต (Mean) | ส่วนเบี่ยงเบน มาตรฐาน (Std.Deviation) | ค่าระดับนัย สำคัญ (p - value) |
|----------------------|--------------------------|--------------------------------|---|-------------------------------------|
| อายุ (วัน) | | | | |
| เกิดภาวะโลหิตจาง | 64 | 55.25 | 19.46 | 0.843 |
| ไม่เกิดภาวะโลหิตจาง | 34 | 54.44 | 19.01 | |
| ระยะเวลา (วัน) | | | | |
| เกิดภาวะโลหิตจาง | 63 | 27.35 | 22.81 | < 0.05 |
| ไม่เกิดภาวะโลหิตจาง | 34 | 11.94 | 5.33 | |
| ฮีโมโกลบิน (g/dl) | | | | |
| เกิดภาวะโลหิตจาง | 64 | 13.60 | 1.23 | 0.008 |
| ไม่เกิดภาวะโลหิตจาง | 34 | 14.27 | 1.12 | |

สัดส่วนของผู้ป่วยเพศชาย และเพศหญิง ไม่แตกต่างกัน ระหว่างกลุ่มผู้ป่วยที่เกิดภาวะโลหิตจาง และกลุ่มที่ไม่เกิดภาวะโลหิตจาง (ตารางที่ 16)

ตารางที่ 16 แสดงสัดส่วนของผู้ป่วยเพศชาย และเพศหญิงระหว่างกลุ่มผู้ป่วยที่เกิดภาวะโลหิตจาง และกลุ่มที่ไม่เกิดภาวะโลหิตจาง

| สภาวะผู้ป่วย | เพศชาย (คน) | เพศหญิง (คน) |
|---------------------|-------------|--------------|
| เกิดภาวะโลหิตจาง | 35 | 29 |
| ไม่เกิดภาวะโลหิตจาง | 20 | 14 |
| รวม | 55 | 43 |

$$X^2 = 0.154, p = 0.695$$

การกระจายของข้อมูลในหอผู้ป่วยต่าง ๆ ไม่แตกต่างกัน ระหว่างกลุ่มผู้ป่วยที่เกิดภาวะโลหิตจาง และกลุ่มที่ไม่เกิดภาวะโลหิตจาง (ตารางที่ 17 – 19)

ตารางที่ 17 แสดงสัดส่วนของผู้ป่วยตามหอผู้ป่วยต่าง ๆ ในกลุ่มผู้ป่วยที่เกิดภาวะโลหิตจาง

| หอผู้ป่วย | จำนวน (คน) | ร้อยละ |
|-------------------------------|------------|--------------|
| หอผู้ป่วยสามัญชาย | 22 | 34.4 |
| หอผู้ป่วยสามัญหญิง | 20 | 31.3 |
| หอผู้ป่วยพิเศษ | 9 | 14.1 |
| หอผู้ป่วยวิกฤต | 5 | 7.8 |
| หอผู้ป่วยระบบประสาท และอื่น ๆ | 8 | 12.5 |
| รวม | 64 | 100.0 |

ตารางที่ 18 แสดงสัดส่วนของผู้ป่วยตามหอผู้ป่วยต่าง ๆ ในกลุ่มผู้ป่วยที่ไม่เกิดภาวะโลหิตจาง

| หอผู้ป่วย | จำนวน (คน) | ร้อยละ |
|-------------------------------|------------|--------------|
| หอผู้ป่วยสามัญชาย | 12 | 35.3 |
| หอผู้ป่วยสามัญหญิง | 6 | 17.6 |
| หอผู้ป่วยพิเศษ | 9 | 26.5 |
| หอผู้ป่วยวิกฤต | 0 | 0.0 |
| หอผู้ป่วยระบบประสาท และอื่น ๆ | 7 | 20.6 |
| รวม | 34 | 100.0 |

ตารางที่ 19 แสดงสัดส่วนของผู้ป่วยในหอผู้ป่วยต่าง ๆ เปรียบเทียบระหว่างกลุ่มผู้ป่วยที่เกิดภาวะโลหิตจาง และกลุ่มที่ไม่เกิดภาวะโลหิตจาง

| หอผู้ป่วย | กลุ่มผู้ป่วยที่เกิดภาวะโลหิตจาง | | กลุ่มผู้ป่วยไม่เกิดภาวะโลหิตจาง | | รวม |
|-------------------------------|---------------------------------|-----------------------------|---------------------------------|-----------------------------|---------------|
| | จำนวน (Count) | ค่าคาดหวัง (Expected count) | จำนวน (Count) | ค่าคาดหวัง (Expected count) | จำนวน (Count) |
| หอผู้ป่วยสามัญชาย | 22 | 22.2 | 12 | 11.8 | 34 |
| หอผู้ป่วยสามัญหญิง | 20 | 17.0 | 6 | 9.0 | 26 |
| หอผู้ป่วยพิเศษ | 9 | 11.8 | 9 | 6.2 | 18 |
| หอผู้ป่วยวิกฤต | 5 | 3.3 | 0 | 1.7 | 5 |
| หอผู้ป่วยระบบประสาท และอื่น ๆ | 8 | 9.8 | 7 | 5.2 | 15 |
| รวม | 64 | | 34 | | 98 |

$$X^2 = 7.021, p = 0.135$$

ไม่มีความแตกต่างของการกระจายของผู้ป่วยในหอผู้ป่วยวิกฤต และหอผู้ป่วยอื่น ๆ ที่ไม่ใช่หอผู้ป่วยวิกฤต ระหว่างกลุ่มผู้ป่วยที่เกิดภาวะโลหิตจาง และไม่เกิดภาวะโลหิตจาง (ตารางที่ 20)

ตารางที่ 20 แสดงการกระจายของผู้ป่วยในหอผู้ป่วยวิกฤต และหอผู้ป่วยอื่น ๆ โดยเปรียบเทียบระหว่างกลุ่มผู้ป่วยที่เกิดภาวะโลหิตจาง และกลุ่มที่ไม่เกิดภาวะโลหิตจาง

| หอผู้ป่วย | กลุ่มผู้ป่วยที่เกิดภาวะโลหิตจาง | | กลุ่มผู้ป่วยที่ไม่เกิดภาวะโลหิตจาง | | รวม จำนวน (Count) |
|-----------------|---------------------------------|--------------------------------|------------------------------------|--------------------------------|-------------------------|
| | จำนวน (Count) | ค่าคาดหวัง (Expected count) | จำนวน (Count) | ค่าคาดหวัง (Expected count) | |
| หอผู้ป่วยวิกฤต | 5 | 3.3 | 0 | 1.7 | 64 |
| หอผู้ป่วยอื่น ๆ | 59 | 60.7 | 34 | 32.3 | 34 |
| รวม | 64 | | 34 | | 98 |

$P = 0.160$ (Fisher's Exact Test)

มีความแตกต่างของการกระจายผู้ป่วยโรคต่าง ๆ ในระหว่างกลุ่มผู้ป่วยที่เกิดภาวะโลหิตจาง และกลุ่มที่ไม่เกิดภาวะโลหิตจาง (ตารางที่ 21 และ 22)

ตารางที่ 21 แสดงการวินิจฉัยโรคในกลุ่มผู้ป่วยที่เกิดภาวะโลหิตจาง

| การวินิจฉัยโรค | จำนวน (คน) | ร้อยละ |
|------------------------------|------------|--------------|
| โรคติดเชื้อ | 29 | 45.3 |
| โรคฮัมพาดจากเส้นเลือดสมองตีบ | 7 | 10.9 |
| โรคหัวใจ | 5 | 7.8 |
| โรคถุงลมโป่งพอง | 3 | 4.7 |
| โรคเอสแอลอี | 2 | 3.1 |
| โรคมะเร็ง | 2 | 3.1 |
| อื่น ๆ | 16 | 25.0 |
| รวม | 64 | 100.0 |

ตารางที่ 22 แสดงการวินิจฉัยโรคในกลุ่มผู้ป่วยที่ไม่เกิดภาวะโลหิตจาง

| การวินิจฉัยโรค | จำนวน (คน) | ร้อยละ |
|------------------------------|------------|--------------|
| โรคติดเชื้อ | 6 | 17.6 |
| โรคฮัมพาดจากเส้นเลือดสมองตีบ | 8 | 23.5 |
| โรคหัวใจ | 9 | 26.5 |
| โรคถุงลมโป่งพอง | 2 | 5.9 |
| โรคเอสแอลอี (SLE) | 1 | 2.9 |
| โรคมะเร็ง | 0 | 0 |
| อื่น ๆ | 8 | 23.5 |
| รวม | 34 | 100.0 |

มีความแตกต่างของการกระจายของผู้ป่วยโรคหัวใจ ในกลุ่มผู้ป่วยทั้งสองกลุ่มอย่างมีนัยสำคัญทางสถิติ โดยในกลุ่มผู้ป่วยที่ไม่เกิดภาวะโลหิตจางมีผู้ป่วยโรคหัวใจมากกว่ากลุ่มที่เกิดภาวะโลหิตจาง (ตารางที่ 23)

ตารางที่ 23 แสดงการเปรียบเทียบสัดส่วนของผู้ป่วยโรคหัวใจ ระหว่างกลุ่มผู้ป่วยที่เกิดภาวะโลหิตจาง และกลุ่มที่ไม่เกิดภาวะโลหิตจาง

| สภาวะของผู้ป่วย | โรคหัวใจ (คน) | โรคอื่น ๆ (คน) | รวม (คน) |
|---------------------|---------------|----------------|----------|
| เกิดภาวะโลหิตจาง | 5 | 59 | 64 |
| ไม่เกิดภาวะโลหิตจาง | 9 | 25 | 34 |
| รวม | 14 | 84 | 98 |

$$X^2 = 6.313, p = 0.012$$

ไม่มีความแตกต่างของระยะเวลาที่อยู่ในโรงพยาบาลเฉลี่ย อายุเฉลี่ย และค่าฮีโมโกลบินแรกรับเฉลี่ย ระหว่างกลุ่มผู้ป่วยโรคหัวใจ และผู้ป่วยโรคอื่น ๆ (ตารางที่ 24)

ตารางที่ 24 แสดงอายุเฉลี่ย ระยะเวลาที่อยู่ในโรงพยาบาลเฉลี่ย และค่าฮีโมโกลบินแรกรับเฉลี่ย เปรียบเทียบระหว่างกลุ่มผู้ป่วยโรคหัวใจ และผู้ป่วยโรคอื่น ๆ

| กลุ่มที่ศึกษา | จำนวนตัวอย่าง (n) | ค่าเฉลี่ยเลขคณิต (Mean) | ค่านัยสำคัญ (p - value) | |
|--|-------------------|-------------------------|-------------------------|-------|
| ระยะเวลาที่อยู่ในโรงพยาบาลเฉลี่ย (วัน) | โรคหัวใจ | 14 | 14.6429 | 0.138 |
| | โรคอื่น ๆ | 84 | 23.2381 | |
| อายุเฉลี่ย (ปี) | โรคหัวใจ | 14 | 52.4286 | 0.595 |
| | โรคอื่น ๆ | 84 | 55.3976 | |
| ฮีโมโกลบินแรกรับเฉลี่ย (กรัมต่อเดซิลิตร) | โรคหัวใจ | 14 | 13.8857 | 0.881 |
| | โรคอื่น ๆ | 84 | 13.8321 | |

มีความแตกต่างของการกระจายของผู้ป่วยโรคติดเชื้อ ในกลุ่มผู้ป่วยทั้งสองกลุ่มอย่างมีนัยสำคัญทางสถิติ โดยกลุ่มผู้ป่วยที่เกิดภาวะโลหิตจางมีผู้ป่วยโรคติดเชื้อมากกว่ากลุ่มที่ไม่เกิดภาวะโลหิตจาง (ตารางที่ 25)

ตารางที่ 25 แสดงการเปรียบเทียบสัดส่วนของผู้ป่วยโรคติดเชื้อ ระหว่างกลุ่มผู้ป่วยที่เกิดภาวะโลหิตจาง และกลุ่มที่ไม่เกิดภาวะโลหิตจาง

| สภาวะของผู้ป่วย | โรคติดเชื้อ (คน) | โรคอื่น ๆ (คน) | รวม (คน) |
|---------------------|------------------|----------------|----------|
| เกิดภาวะโลหิตจาง | 29 | 35 | 64 |
| ไม่เกิดภาวะโลหิตจาง | 6 | 28 | 34 |
| รวม | 35 | 63 | 98 |

$$X^2 = 7.402, p = 0.007$$

โดยไม่มีความแตกต่างของอายุเฉลี่ย ค่าฮีโมโกลบินแรกรับเฉลี่ย และระยะเวลาที่อยู่ในโรงพยาบาลเฉลี่ย ระหว่างกลุ่มผู้ป่วยโรคติดเชื้อ และผู้ป่วยโรคอื่น ๆ (ตารางที่ 26)

ตารางที่ 26 แสดงอายุเฉลี่ย ระยะเวลาที่อยู่ในโรงพยาบาลเฉลี่ย และค่าฮีโมโกลบินแรกรับเฉลี่ย ระหว่างกลุ่มผู้ป่วยโรคติดเชื้อ และกลุ่มผู้ป่วยโรคอื่น ๆ

| กลุ่มที่ศึกษา | จำนวนตัวอย่าง (n) | ค่าเฉลี่ยเลขคณิต (Mean) | ค่านัยสำคัญ (p - value) |
|--|-------------------|-------------------------|-------------------------|
| ระยะเวลาที่อยู่ในโรงพยาบาล (วัน) | โรคติดเชื้อ | 23.00 | 0.706 |
| | โรคอื่น ๆ | 21.40 | |
| อายุเฉลี่ย (ปี) | โรคติดเชื้อ | 53.10 | 0.457 |
| | โรคอื่น ๆ | 56.11 | |
| ฮีโมโกลบินแรกรับเฉลี่ย (กรัมต่อเดซิลิตร) | โรคติดเชื้อ | 13.80 | 0.831 |
| | โรคอื่น ๆ | 13.86 | |

มีความแตกต่างของการกระจายของผู้ป่วยที่ติดเชื้อเอชไอวี (HIV) ในกลุ่มผู้ป่วยทั้งสองกลุ่มอย่างมีนัยสำคัญทางสถิติ โดยกลุ่มผู้ป่วยที่ไม่เกิดภาวะโลหิตจาง ไม่มีผู้ป่วยที่ติดเชื้อเอชไอวี อยู่เลย (ตารางที่ 27)

ตารางที่ 27 แสดงการเปรียบเทียบสัดส่วนของผู้ป่วยที่ติดเชื้อเอชไอวี ระหว่างกลุ่มผู้ป่วยที่เกิดภาวะโลหิตจาง และกลุ่มที่ไม่เกิดภาวะโลหิตจาง

| สภาวะของผู้ป่วย | โรคติดเชื้อเอชไอวี (คน) | โรคอื่น ๆ (คน) | รวม (คน) |
|---------------------|-------------------------|----------------|----------|
| เกิดภาวะโลหิตจาง | 9 | 55 | 64 |
| ไม่เกิดภาวะโลหิตจาง | 0 | 34 | 34 |
| รวม | 9 | 89 | 98 |

$$X^2 = 5.265, p = 0.022$$

มีความแตกต่างของอายุเฉลี่ยอย่างมีนัยสำคัญทางสถิติ ระหว่างกลุ่มผู้ป่วยที่ติดเชื้อเอชไอวี และผู้ป่วยโรคอื่น ๆ โดยกลุ่มผู้ป่วยที่ติดเชื้อเอชไอวีมีอายุเฉลี่ยน้อยกว่าผู้ป่วยโรคอื่น ๆ (ตารางที่ 28)

ตารางที่ 28 แสดงอายุเฉลี่ย ระยะเวลาที่อยู่ในโรงพยาบาลเฉลี่ย และค่าฮีโมโกลบินแรกรับเฉลี่ย ระหว่างกลุ่มผู้ป่วยที่ติดเชื้อเอชไอวี และกลุ่มผู้ป่วยโรคอื่น ๆ

| กลุ่มที่ศึกษา | จำนวนตัวอย่าง (n) | ค่าเฉลี่ยเลขคณิต (Mean) | ค่านัยสำคัญ (p-value) |
|--|--------------------|-------------------------|-----------------------|
| ระยะเวลาที่อยู่โรงพยาบาลเฉลี่ย (วัน) | โรคติดเชื้อเอชไอวี | 33.0000 | 0.160 |
| | โรคอื่น ๆ | 20.8989 | |
| อายุเฉลี่ย (ปี) | โรคติดเชื้อเอชไอวี | 34.8889 | < 0.05 |
| | โรคอื่น ๆ | 57.0227 | |
| ฮีโมโกลบินแรกรับเฉลี่ย (กรัมต่อเดซิลิตร) | โรคติดเชื้อเอชไอวี | 13.8222 | 0.966 |
| | โรคอื่น ๆ | 13.8416 | |

ไม่มีความแตกต่างของการกระจายของผู้ป่วยโรคอัมพาตจากเส้นเลือดสมองตีบ ในกลุ่มผู้ป่วยที่เกิดภาวะโลหิตจาง และกลุ่มผู้ป่วยที่ไม่เกิดภาวะโลหิตจาง (ตารางที่ 29)

ตารางที่ 29 แสดงการเปรียบเทียบสัดส่วนของผู้ป่วยโรคอัมพาตจากเส้นเลือดในสมองตีบ ระหว่างกลุ่มผู้ป่วยที่เกิดภาวะโลหิตจาง และกลุ่มที่ไม่เกิดภาวะโลหิตจาง

| สภาวะของผู้ป่วย | โรคอัมพาตจากเส้นเลือดใน สมองตีบ (คน) | โรคอื่น ๆ (คน) | รวม (คน) |
|---------------------|---|----------------|-----------|
| เกิดภาวะโลหิตจาง | 7 | 57 | 64 |
| ไม่เกิดภาวะโลหิตจาง | 8 | 26 | 34 |
| รวม | 15 | 83 | 98 |

$$\chi^2 = 2.716, p = 0.099$$

มีผู้ป่วยเสียชีวิต 7 คน โดยผู้ป่วยทั้ง 7 คน อยู่ในกลุ่มผู้ป่วยที่เกิดภาวะโลหิตจาง แต่ไม่พบความแตกต่างของผู้ป่วยทั้งสองกลุ่มอย่างมีนัยสำคัญทางสถิติ (ตารางที่ 30)

ตารางที่ 30 แสดงการเปรียบเทียบสัดส่วนของผู้ป่วยที่เสียชีวิตระหว่างกลุ่มผู้ป่วยที่เกิดภาวะโลหิตจาง และกลุ่มที่ไม่เกิดภาวะโลหิตจาง

| สภาวะผู้ป่วย | กลุ่มผู้ป่วยที่เกิดภาวะโลหิตจาง | | กลุ่มผู้ป่วยไม่เกิดภาวะโลหิตจาง | | รวม |
|--------------|---------------------------------|--------------------------------|---------------------------------|--------------------------------|-----------|
| | จำนวน (Count) | ค่าคาดหวัง (Expected count) | จำนวน (Count) | ค่าคาดหวัง (Expected count) | |
| เสียชีวิต | 7 | 4.6 | 0 | 2.4 | 64 |
| ไม่เสียชีวิต | 57 | 59.4 | 34 | 31.6 | 34 |
| รวม | 64 | | 34 | | 98 |

$$P = 0.092 \text{ (Fisher's Exact Test)}$$

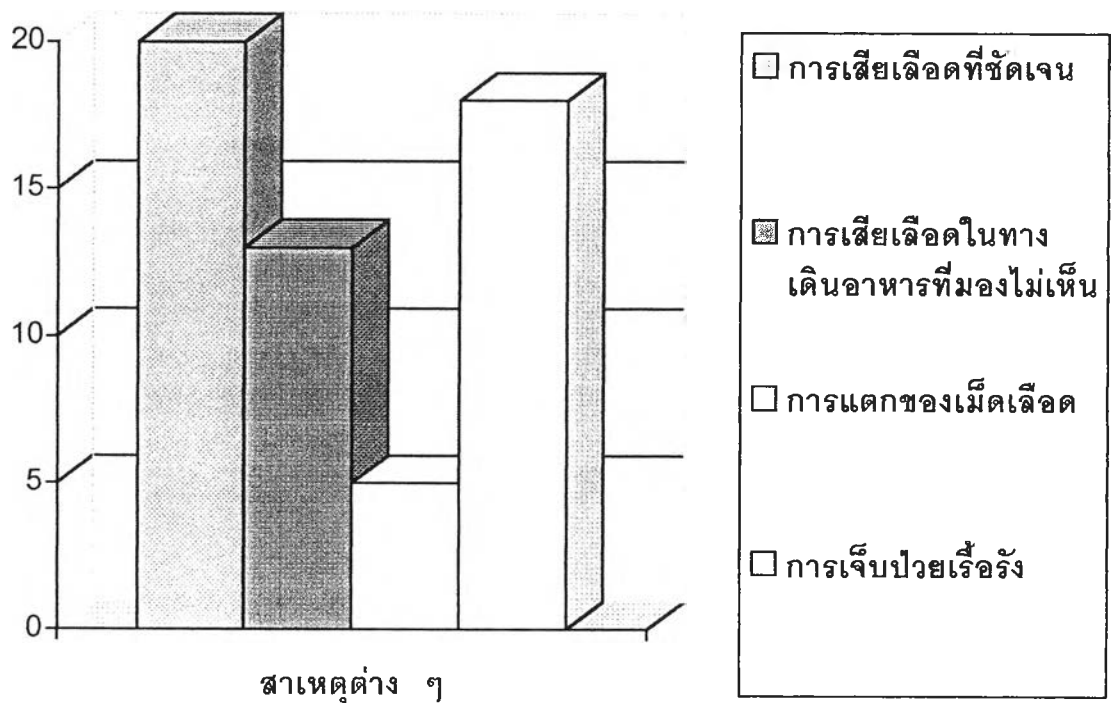
สาเหตุของภาวะโลหิตจาง

มีผู้ป่วย 8 คนที่ไม่ได้ทำการค้นหาสาเหตุของภาวะโลหิตจาง เนื่องจากผู้ป่วย 4 คน พบภาวะโลหิตจางจากการตรวจเลือดหาค่าฮีโมโกลบินก่อนกลับบ้านภายใน 24 - 48 ชั่วโมง และผู้ป่วยอีก 4 คน แพทย์อนุญาตให้กลับบ้านหลังตรวจพบว่ามีโลหิตจางได้ไม่นาน จึงเหลือผู้ป่วยที่ได้รับการค้นหาสาเหตุของภาวะโลหิตจางทั้งสิ้น 56 คน คิดเป็น 87.5 % ของผู้ป่วยที่พบภาวะโลหิตจางทั้งหมด (แผนภูมิที่ 6)

| | |
|---|----------------|
| สาเหตุของภาวะโลหิตจางที่พบจากผู้ป่วยที่ได้รับการค้นหาสาเหตุทั้งหมด 56 คน มีดังนี้ | |
| สาเหตุจากการเสียเลือดที่ชัดเจน (Obvious blood loss) | 20 คน (35.7 %) |
| สาเหตุจากการเสียเลือดในทางเดินอาหารที่มองไม่เห็น (Occult gastrointestinal blood loss) | 13 คน (23.2 %) |
| สาเหตุจากการแตกของเม็ดเลือด (Hemolysis) | 5 คน (8.9 %) |
| สาเหตุจากการเจ็บป่วยเรื้อรัง (Anemia of chronic disease) | 18 คน (32.1 %) |

แผนภูมิที่ 6 แสดงสาเหตุของภาวะโลหิตจางที่เกิดในโรงพยาบาล

จำนวน (คน)



สาเหตุของภาวะโลหิตจางจากการเสียเลือดที่ชัดเจน

มีผู้ป่วยที่อยู่ในกลุ่มนี้ทั้งสิ้น 20 คน จาก 56 คน (35.7 %) ผู้ป่วยทุกคนมีเลือดออกที่มองเห็นได้ชัดเจนได้แก่

- เลือดออกจากทางเดินอาหาร 12 คน ผู้ป่วยทุกคนมีถ่ายดำ (Melena) หรือ อาเจียนสีดำนะรักษา (Coffee ground appearance) โดยผู้ป่วยส่วนใหญ่ได้รับการส่องกล้องตรวจทางเดินอาหารพบแผล หรือการระคายเคืองของกระเพาะอาหาร (Gastritis)
- เลือดออกจากการผ่าตัด 4 คน โดยผู้ป่วยได้รับการผ่าตัดขณะอยู่ในโรงพยาบาล มีการผ่าตัดแก้ไขกระดูกทับไขสันหลัง (Spinal cord decompression) 1 คน, ผ่าตัดเปิดกะโหลกศีรษะเพื่อลดความดันในกะโหลกศีรษะจากภาวะสมองบวม (Craniectomy) 1 คน, ผ่าตัดเปิดช่องเยื่อหุ้มหัวใจ จากการติดเชื้อที่เยื่อหุ้มหัวใจ (Pericardectomy) 1 คน และผ่าตัดเอาเนื้อตายออกจากแผลติดเชื้อชั้นลึก (Debridement) 1 คน ในจำนวนนี้มีผู้ป่วยหนึ่งคนที่มีการเสียเลือดในทางเดินอาหารร่วมด้วย
- เลือดออกจากท่อระบายลมจากช่องเยื่อหุ้มปอด (Intrathoracic chest drain) 2 คน คนแรกสงสัยมะเร็งของเยื่อหุ้มปอด (Mesothelioma) และอีกหนึ่งคนมีหนองในช่องเยื่อหุ้มปอด (Empyema) หลังใส่ท่อระบายหนองมีเลือดปนออกมาปริมาณมากโดยตลอด
- ไข้ออกเลือดปริมาณมาก (Massive hemoptysis) 1 คน จากแผลวัณโรคเก่า
- เลือดออกในชั้นใต้ผิวหนัง (Subcutaneous hematoma) 1 คน จากการให้ยาต้านการแข็งตัวของเลือด หลังทำผ่าตัดวางท่อระบายน้ำไขสันหลังลงสู่ช่องท้อง (Ventriculo – peritoneal shunt)

สาเหตุของภาวะโลหิตจางจากการเสียเลือดในทางเดินอาหารที่มองไม่เห็น

มีผู้ป่วย 13 คน ที่ตรวจพบเลือดในอุจจาระที่มองไม่เห็น (Stool occult blood) โดยไม่พบสาเหตุอื่นที่ชัดเจนของภาวะโลหิตจาง

สาเหตุของภาวะโลหิตจางจากการแตกของเม็ดเลือด

มีผู้ป่วย 5 คน ที่ตรวจพบหลักฐานการแตกของเม็ดเลือด ในสเมียร์เลือดร่วมกับการตรวจคูลัมบีให้ผลบวก (Direct Coombs' test – IgG ให้ผลบวก 5 คน ร่วมกับ Indirect Coombs' test ให้ผลบวก 1 คน) ได้รับการวินิจฉัยการทำลายเม็ดเลือดจากภูมิคุ้มกันต่อเม็ดเลือดแดง (Immune hemolytic anemia)

ผู้ป่วย 2 คน ไม่ทราบสาเหตุของการเกิดภูมิคุ้มกัน

ผู้ป่วย 2 คน เกิดจากยา (Drug induced hemolysis) ซึ่งทั้งสองคนได้รับยาคล็อกซาซิลลิน (Cloxacillin) โดยผู้ป่วยคนแรกได้รับยานี้เพื่อรักษาการติดเชื้อที่ลิ้นหัวใจ (Infective endocarditis) และในผู้ป่วยคนที่สองได้รับยาเพื่อรักษาหนองในช่องเยื่อหุ้มปอด

ผู้ป่วย 1 คน เกิดจากโรคเอสแอลอี (SLE)

ในจำนวนนี้มีผู้ป่วย 3 คน ที่ตรวจพบเลือดในอุจจาระที่มองไม่เห็นร่วมด้วย

สาเหตุของภาวะโลหิตจางจากการเจ็บป่วยเรื้อรัง

มีผู้ป่วย 18 คน ซึ่งผู้ป่วยกลุ่มนี้มีโรคที่เป็นสาเหตุของภาวะโลหิตจางจากการเจ็บป่วยเรื้อรังได้ ไม่พบการเสียเลือดในทางเดินอาหารที่ชัดเจน ไม่มีถ่ายดำ (Melena) ไม่มีอาเจียนสีดำ (Coffee ground appearance) ได้รับการตรวจเลือดที่มองไม่เห็นในอุจจาระ 9 คน ไม่พบเลือดในอุจจาระ ผู้ป่วยทุกคนไม่พบหลักฐานการแตกของเม็ดเลือดจากสเมียร์เลือด โดยได้รับการตรวจคูลัมบี 14 คน ให้ผลลบ และมีจำนวนเม็ดเลือดแดงเรติคิวโลไซต์เฉลี่ยไม่สูง (1.38 %)

มีผู้ป่วย 14 คน (77.7 %) มีผลการศึกษาธาตุเหล็กในร่างกาย (Iron study) สนับสนุนการวินิจฉัยภาวะโลหิตจางจากการเจ็บป่วยเรื้อรัง โดยระดับธาตุเหล็กในซีรัมต่ำ (< 70 ไมโครกรัมต่อเดซิลิตร) แต่ระดับธาตุเหล็กสะสมเฟอร์ริตินปกติหรือสูง (> 50 นาโนกรัมต่อมิลลิลิตร)

สำหรับผู้ป่วยที่เหลืออีก 4 คน (22.2 %) มีระดับธาตุเหล็กในซีรัมอยู่ในเกณฑ์ค่อนข้างต่ำ แต่มีระดับธาตุเหล็กสะสมเฟอร์ริตินสูง จึงให้การวินิจฉัยภาวะโลหิตจางจากการเจ็บป่วยเรื้อรังด้วย

การวินิจฉัยโรคในผู้ป่วยกลุ่มนี้ส่วนใหญ่เป็นโรคติดเชื้อ (ตารางที่ 31)

ตารางที่ 31 แสดงการวินิจฉัยโรคในกลุ่มผู้ป่วยที่เกิดภาวะโลหิตจางจากการเจ็บป่วยเรื้อรัง

| การวินิจฉัยโรค | จำนวน (คน) | ร้อยละ |
|--------------------------------|------------|--------------|
| โรคติดเชื้อ | 10 | 55.6 |
| โรคอัมพาตจากเส้นเลือดในสมองตีบ | 3 | 16.7 |
| โรคหัวใจ | 1 | 5.6 |
| โรคอื่น ๆ | 4 | 22.2 |
| รวม | 18 | 100.0 |

ไม่พบความแตกต่างของสัดส่วนของผู้ป่วยโรคติดเชื้อเปรียบเทียบระหว่างกลุ่มผู้ป่วยที่เกิดภาวะโลหิตจางจากการเจ็บป่วยเรื้อรัง กับกลุ่มผู้ป่วยที่เกิดภาวะโลหิตจางจากสาเหตุอื่น ๆ (ตารางที่ 32)

ตารางที่ 32 แสดงสัดส่วนของผู้ป่วยโรคติดเชื้อเปรียบเทียบระหว่างกลุ่มผู้ป่วยที่เกิดภาวะโลหิตจางจากการเจ็บป่วยเรื้อรัง กับกลุ่มผู้ป่วยที่เกิดภาวะโลหิตจางจากสาเหตุอื่น ๆ

| สาเหตุของภาวะโลหิตจาง | กลุ่มโรคติดเชื้อ (คน) | กลุ่มโรคอื่น ๆ (คน) | รวม (คน) |
|--------------------------------------|--------------------------|------------------------|-------------|
| กลุ่มที่เกิดจากการเจ็บป่วยเรื้อรัง | 10 | 8 | 18 |
| กลุ่มที่เกิดภาวะโลหิตจางสาเหตุอื่น ๆ | 17 | 21 | 38 |
| รวม | 27 | 29 | 56 |

$$X^2 = 0.573, p = 0.449$$

ความรุนแรงของภาวะโลหิตจาง (Degree of anemia) (แสดงให้เห็นจากระดับฮีโมโกลบินที่ลดลง) มีความแตกต่างกันอย่างมีนัยสำคัญทางสถิติ ระหว่างกลุ่มผู้ป่วยที่เกิดภาวะโลหิตจางจากสาเหตุต่าง ๆ โดยพบความแตกต่างระหว่างกลุ่มผู้ป่วยที่เกิดภาวะโลหิตจางจากการเสียเลือดที่ชัดเจน กับกลุ่มผู้ป่วยที่เกิดภาวะโลหิตจางจากการเจ็บป่วยเรื้อรัง (ตารางที่ 33 – 35)

ตารางที่ 33 แสดงระดับฮีโมโกลบินที่ลดลงเฉลี่ยในกลุ่มผู้ป่วยที่เกิดภาวะโลหิตจางจากสาเหตุต่าง ๆ

| สาเหตุ | จำนวน (คน) | ระดับฮีโมโกลบินที่ ลดลงเฉลี่ย (กรัมต่อเดซิลิตร) |
|--|---------------|---|
| สาเหตุจากการเสียเลือดที่ชัดเจน | 20 | 4.7900 |
| สาเหตุจากการเสียเลือดในทางเดินอาหารที่มองไม่เห็น | 13 | 3.8923 |
| สาเหตุจากการแตกของเม็ดเลือด | 5 | 4.1400 |
| สาเหตุจากการเจ็บป่วยเรื้อรัง | 18 | 2.8278 |
| รวม | 56 | 3.8929 |

ตารางที่ 34 แสดงการเปรียบเทียบระดับฮีโมโกลบินที่ลดลงเฉลี่ย ระหว่างกลุ่มผู้ป่วยที่เกิดภาวะโลหิตจางจากสาเหตุต่าง ๆ

| | Sum of Squares | df | Mean Squares | F | P - value |
|----------------|----------------|----|--------------|-------|-----------|
| Between groups | 36.822 | 3 | 12.274 | 3.694 | 0.017 |
| Within groups | 172.795 | 52 | 3.323 | | |
| Total | 209.617 | 55 | | | |

ตารางที่ 35 แสดงการเปรียบเทียบระดับฮีโมโกลบินที่ลดลงเฉลี่ย ระหว่างกลุ่มผู้ป่วยที่เกิดภาวะโลหิตจางจากการเสียเลือดที่ชัดเจน กับกลุ่มผู้ป่วยที่เกิดภาวะโลหิตจางจากการเจ็บป่วยเรื้อรัง

| | จำนวน (คน) | ระดับฮีโมโกลบิน ที่ลดลงเฉลี่ย (g/dl) | ส่วนเบี่ยงเบน มาตรฐาน (Std.Deviation) |
|--------------------------------------|---------------|--|---|
| กลุ่มที่เกิดจากการเสียเลือดที่ชัดเจน | 20 | 4.7900 | 2.0261 |
| กลุ่มที่เกิดจากการเจ็บป่วยเรื้อรัง | 18 | 2.8278 | 1.3555 |

$p = 0.018$ (Post Hoc test)

ไม่พบความแตกต่างของระยะเวลาที่อยู่ในโรงพยาบาลเฉลี่ย ระหว่างกลุ่มผู้ป่วยที่เกิดภาวะโลหิตจางจากสาเหตุต่าง ๆ (ตารางที่ 36 และ 37)

ตารางที่ 36 แสดงระยะเวลาที่อยู่ในโรงพยาบาลเฉลี่ยของกลุ่มผู้ป่วยที่เกิดภาวะโลหิตจางจากสาเหตุต่าง ๆ

| สาเหตุ | จำนวน (คน) | ระยะเวลาที่อยู่ในโรง พยาบาลเฉลี่ย (วัน) |
|--|---------------|---|
| สาเหตุจากการเสียเลือดที่ชัดเจน | 20 | 32.3500 |
| สาเหตุจากการเสียเลือดในทางเดินอาหารที่มองไม่เห็น | 13 | 39.2308 |
| สาเหตุจากการแตกของเม็ดเลือด | 5 | 26.6000 |
| สาเหตุจากการเจ็บป่วยเรื้อรัง | 18 | 20.2222 |
| รวม | 56 | 29.5357 |

ตารางที่ 37 แสดงการเปรียบเทียบระยะเวลาที่อยู่ในโรงพยาบาลเฉลี่ย ระหว่างกลุ่มผู้ป่วยที่เกิดภาวะโลหิตจางจากสาเหตุต่าง ๆ

| | Sum of Squares | df | Mean Squares | F | P - value |
|----------------|----------------|----|--------------|-------|-----------|
| Between groups | 2984.760 | 3 | 994.920 | 1.870 | 0.146 |
| Within groups | 27673.169 | 52 | 532.176 | | |
| Total | 30657.929 | 55 | | | |

ไม่พบความแตกต่างของสัดส่วนของผู้ป่วยที่เสียชีวิตเปรียบเทียบระหว่างกลุ่มผู้ป่วยที่เกิดภาวะโลหิตจางจากการเจ็บป่วยเรื้อรัง กับกลุ่มผู้ป่วยที่เกิดภาวะโลหิตจางจากสาเหตุอื่น ๆ (ตารางที่ 38)

ตารางที่ 38 แสดงสัดส่วนของผู้ป่วยที่เสียชีวิต เปรียบเทียบระหว่างกลุ่มผู้ป่วยที่เกิดภาวะโลหิตจางจากการเจ็บป่วยเรื้อรัง กับกลุ่มที่เกิดภาวะโลหิตจางจากสาเหตุอื่น ๆ

| สาเหตุของภาวะโลหิตจาง | เสียชีวิต (คน) | รอดชีวิต (คน) | รวม (คน) |
|------------------------------------|-------------------|------------------|-------------|
| ภาวะโลหิตจางจากการเจ็บป่วยเรื้อรัง | 0 | 18 | 18 |
| ภาวะโลหิตจางจากสาเหตุอื่น ๆ | 7 | 31 | 38 |
| รวม | 7 | 49 | 56 |

P = 0.084 (Fisher's Exact Test)

จำนวนเม็ดเลือดแดงเรติคิวโลไซต์เฉลี่ย (Reticulocyte count) มีค่าแตกต่างกันตามสาเหตุของภาวะโลหิตจาง โดยพบความแตกต่างระหว่างกลุ่มที่เกิดภาวะโลหิตจางจากการเสียเลือดที่ชัดเจน กับกลุ่มที่เกิดภาวะโลหิตจางจากการเจ็บป่วยเรื้อรัง (ตารางที่ 39 – 41)

ตารางที่ 39 แสดงจำนวนเม็ดเลือดแดงเรติคิวโลไซต์เฉลี่ยแบ่งตามสาเหตุของภาวะโลหิตจาง

| สาเหตุ | ค่าเฉลี่ย (%) | ส่วนเบี่ยงเบนมาตรฐาน (Std. Deviation) | ค่าน้อยที่สุด (%) | ค่ามากที่สุด (%) | สัดส่วนผู้ป่วยที่ได้รับการตรวจ |
|--|---------------|---------------------------------------|-------------------|------------------|--------------------------------|
| สาเหตุจากการเสียเลือดที่ชัดเจน | 3.66 | 2.02 | 0.8 | 7.4 | 13 / 20 |
| สาเหตุจากการเสียเลือดในทางเดินอาหารที่มองไม่เห็น | 2.03 | 1.49 | 0.2 | 4.8 | 12 / 13 |
| สาเหตุจากการแตกของเม็ดเลือด | 3.52 | 3.17 | 1.6 | 9.0 | 5 / 5 |
| สาเหตุจากการเจ็บป่วยเรื้อรัง | 1.38 | 1.02 | 0.1 | 3.6 | 17 / 18 |

ตารางที่ 40 แสดงการเปรียบเทียบจำนวนเม็ดเลือดแดงเรติคิวโลไซต์เฉลี่ย ระหว่างกลุ่มผู้ป่วยที่เกิดภาวะโลหิตจางจากสาเหตุต่าง ๆ

| | Sum of Squares | df | Mean Squares | F | p - value |
|----------------|----------------|----|--------------|-------|-----------|
| Between groups | 46.178 | 3 | 15.393 | 5.049 | 0.004 |
| Within groups | 131.090 | 43 | 3.049 | | |
| Total | 177.268 | 46 | | | |

ตารางที่ 41 แสดงจำนวนเม็ดเลือดแดงเรติคิวโลไซต์เฉลี่ย ระหว่างกลุ่มผู้ป่วยที่เกิดภาวะโลหิตจางจากการเสียเลือดที่ชัดเจน และกลุ่มที่เกิดภาวะโลหิตจางจากการเจ็บป่วยเรื้อรัง

| สาเหตุ | จำนวน (คน) | จำนวน เรติคิวโลไซต์ เฉลี่ย (%) | ส่วนเบี่ยงเบน มาตรฐาน (Std. Deviation) |
|--------------------------------------|---------------|--------------------------------------|--|
| กลุ่มที่เกิดจากการเสียเลือดที่ชัดเจน | 13 | 3.6615 | 2.0284 |
| กลุ่มที่เกิดจากการเจ็บป่วยเรื้อรัง | 17 | 1.3824 | 1.0285 |

$p = 0.011$ (Post Hoc test)

ไม่มีความแตกต่างของระดับธาตุเหล็กในซีรัมเฉลี่ย (Serum iron) และระดับธาตุเหล็กสะสมเฟอร์ริตินเฉลี่ย (Serum ferritin) ในแต่ละกลุ่มที่มีสาเหตุของภาวะโลหิตจางต่างกัน (ตารางที่ 42 – 45)

ตารางที่ 42 แสดงระดับธาตุเหล็กในซีรัมเฉลี่ย แบ่งตามสาเหตุของภาวะโลหิตจาง

| สาเหตุ | ค่าเฉลี่ย (µg/dl) | ส่วนเบี่ยงเบน มาตรฐาน (Std. Deviation) | ค่าน้อย ที่สุด (µg/dl) | ค่ามากที่สุด (µg/dl) | สัดส่วน ผู้ป่วยที่ได้ รับการตรวจ |
|-------------------------------------|----------------------|--|------------------------------|-------------------------|--|
| สาเหตุจากการเสียเลือดที่ชัดเจน | 57.66 | 48.6795 | 15.00 | 189.00 | 12 / 20 |
| เลือดออกในทางเดินอาหารที่มองไม่เห็น | 66.67 | 32.8947 | 10.00 | 114.00 | 12 / 13 |
| สาเหตุจากการแตกของเม็ดเลือด | 99.00 | 61.3025 | 46.00 | 196.00 | 5 / 5 |
| สาเหตุจากการเจ็บป่วยเรื้อรัง | 57.83 | 37.5660 | 12.00 | 139.00 | 18 / 18 |

ตารางที่ 43 แสดงระดับธาตุเหล็กสะสมเฟอร์ริตินเฉลี่ย แบ่งตามสาเหตุของภาวะโลหิตจาง

| สาเหตุ | ค่าเฉลี่ย (ng/ml) | ส่วนเบี่ยงเบน มาตรฐาน (Std. Deviation) | ค่าน้อย ที่สุด (ng/ml) | ค่ามากที่สุด (ng/ml) | สัดส่วนผู้ป่วย ที่ได้รับการ ตรวจ |
|-------------------------------------|----------------------|--|------------------------------|-------------------------|--|
| สาเหตุจากการเสียเลือดที่ชัดเจน | 762.00 | 634.9578 | 183.00 | 2220.00 | 12 / 20 |
| เลือดออกในทางเดินอาหารที่มองไม่เห็น | 516.91 | 629.4248 | 114.00 | 2445.00 | 12 / 13 |
| สาเหตุจากการแตกของเม็ดเลือด | 754.00 | 758.0158 | 117.00 | 2003.00 | 5 / 5 |
| สาเหตุจากการเจ็บป่วยเรื้อรัง | 440.72 | 354.5205 | 89.00 | 1235.00 | 18 / 18 |

ตารางที่ 44 แสดงการเปรียบเทียบระดับธาตุเหล็กในซีรัมเฉลี่ย ระหว่างกลุ่มผู้ป่วยที่มีสาเหตุของภาวะโลหิตจางต่างกัน

| | Sum of Squares | df | Mean Squares | F | P - value |
|----------------|----------------|----|--------------|-------|-----------|
| Between groups | 7367.656 | 3 | 2455.885 | 1.372 | 0.264 |
| Within groups | 76991.833 | 43 | 1790.508 | | |
| Total | 84359.489 | 46 | | | |

ตารางที่ 45 แสดงการเปรียบเทียบระดับธาตุเหล็กสะสมเฟอริตินเฉลี่ย ระหว่างกลุ่มผู้ป่วยที่มีสาเหตุของภาวะโลหิตจางต่างกัน

| | Sum of Squares | df | Mean Squares | F | P - value |
|----------------|----------------|----|--------------|-------|-----------|
| Between groups | 944853.174 | 3 | 314951.058 | 1.024 | 0.392 |
| Within groups | 13227810.528 | 43 | 307623.501 | | |
| Total | 14172663.702 | 46 | | | |

ไม่พบความแตกต่างของระดับธาตุเหล็กสะสมเฟอริตินเฉลี่ย ระหว่างกลุ่มผู้ป่วยโรคติดเชื้อ และกลุ่มผู้ป่วยโรคอื่น ๆ ที่ไม่ใช่โรคติดเชื้อ (ตารางที่ 46)

ตารางที่ 46 แสดงการเปรียบเทียบระดับธาตุเหล็กสะสมเฟอริตินเฉลี่ย ระหว่างกลุ่มผู้ป่วยโรคติดเชื้อ และกลุ่มผู้ป่วยโรคอื่น ๆ

| กลุ่มผู้ป่วย | จำนวนตัวอย่าง (n) | ระดับธาตุเหล็กสะสมเฟอริตินเฉลี่ย (ng/ml) | ส่วนเบี่ยงเบนมาตรฐาน (Std. Deviation) |
|------------------|-------------------|--|---------------------------------------|
| กลุ่มโรคติดเชื้อ | 23 | 683.6957 | 624.6722 |
| กลุ่มโรคอื่น ๆ | 24 | 471.8750 | 469.0864 |

P = 0.194

ปริมาณเลือดที่ใช้ตรวจทางห้องปฏิบัติการ

ปริมาณเลือดที่ใช้ตรวจทางห้องปฏิบัติการเฉลี่ยในกลุ่มที่เกิดภาวะโลหิตจาง แตกต่างจากกลุ่มที่ไม่เกิดภาวะโลหิตจางอย่างมีนัยสำคัญทางสถิติ (147.06 มิลลิลิตร และ 52.94 มิลลิลิตร ตามลำดับ) โดยจะเห็นว่ากลุ่มที่เกิดภาวะโลหิตจางใช้เลือดในการตรวจทางห้องปฏิบัติการมากกว่า (ตารางที่ 47)

ตารางที่ 47 แสดงการเปรียบเทียบปริมาณเลือดที่ใช้ตรวจทางห้องปฏิบัติการเฉลี่ย ระหว่างกลุ่มที่เกิดภาวะโลหิตจาง และกลุ่มที่ไม่เกิดภาวะโลหิตจาง

| กลุ่มผู้ป่วย | จำนวน (คน) | ปริมาณเลือดที่ใช้ตรวจทาง ห้องปฏิบัติการเฉลี่ย (มิลลิลิตร) | ส่วนเบี่ยงเบน มาตรฐาน (Std. Deviation) |
|-----------------------------|---------------|---|--|
| กลุ่มที่เกิดภาวะโลหิตจาง | 64 | 147.0625 | 109.7638 |
| กลุ่มที่ไม่เกิดภาวะโลหิตจาง | 34 | 52.9412 | 27.6087 |

$P < 0.05$

มีความแตกต่างของปริมาณเลือดที่ใช้ตรวจทางห้องปฏิบัติการเฉลี่ย ระหว่างกลุ่มผู้ป่วยที่เกิดภาวะโลหิตจางจากสาเหตุต่าง ๆ กัน (ตารางที่ 48 และ 49)

ตารางที่ 48 แสดงปริมาณเลือดที่ใช้ตรวจทางห้องปฏิบัติการเฉลี่ยในกลุ่มผู้ป่วยที่เกิดภาวะโลหิตจางจากสาเหตุต่าง ๆ

| สาเหตุ | จำนวน (คน) | ปริมาณเลือดที่ใช้ตรวจทาง ห้องปฏิบัติการเฉลี่ย (มิลลิลิตร) | ส่วนเบี่ยงเบน มาตรฐาน (Std. Deviation) |
|-------------------------------------|---------------|---|--|
| สาเหตุจากการเสียเลือดที่ชัดเจน | 20 | 203.1000 | 138.9077 |
| เลือดออกในทางเดินอาหารที่มองไม่เห็น | 13 | 169.0769 | 108.9675 |
| สาเหตุจากการแตกของเม็ดเลือด | 5 | 177.2000 | 93.0521 |
| สาเหตุจากการเจ็บป่วยเรื้อรัง | 18 | 103.8889 | 41.4841 |
| รวม | 56 | 161.0000 | 110.3143 |

ตารางที่ 49 แสดงการเปรียบเทียบปริมาณเลือดที่ใช้ตรวจทางห้องปฏิบัติการเฉลี่ย ระหว่างกลุ่มผู้ป่วยที่เกิดภาวะโลหิตจางจากสาเหตุต่าง ๆ

| | Sum of Squares | df | Mean Squares | F | P - value |
|----------------|----------------|----|--------------|-------|-----------|
| Between groups | 96318.699 | 3 | 32106.233 | 2.914 | 0.043 |
| Within groups | 572989.301 | 52 | 11019.025 | | |
| Total | 669308.000 | 55 | | | |

พบความแตกต่างของปริมาณเลือดที่ใช้ตรวจทางห้องปฏิบัติการเฉลี่ย ระหว่างกลุ่มผู้ป่วยที่เกิดภาวะโลหิตจางจากการเสียเลือดที่ชัดเจน กับกลุ่มที่เกิดภาวะโลหิตจางจากการเจ็บป่วยเรื้อรัง (ตารางที่ 50)

ตารางที่ 50 แสดงการเปรียบเทียบปริมาณเลือดที่ใช้ตรวจทางห้องปฏิบัติการเฉลี่ย ระหว่างกลุ่มผู้ป่วยที่เกิดภาวะโลหิตจางจากการเสียเลือดที่ชัดเจน กับกลุ่มที่เกิดภาวะโลหิตจางจากการเจ็บป่วยเรื้อรัง

| | จำนวน (คน) | ปริมาณเลือดที่ใช้ ตรวจทางห้อง ปฏิบัติการเฉลี่ย (มิลลิลิตร) | ส่วนเบี่ยงเบน มาตรฐาน (Std. Deviation) |
|--------------------------------------|---------------|---|--|
| กลุ่มที่เกิดจากการเสียเลือดที่ชัดเจน | 20 | 203.1000 | 138.9077 |
| กลุ่มที่เกิดจากการเจ็บป่วยเรื้อรัง | 18 | 103.8889 | 41.4841 |

$p = 0.034$ (Post Hoc test)

พบความแตกต่างอย่างมีนัยสำคัญทางสถิติของสัดส่วนของผู้ป่วยที่เสียเลือดจากการตรวจทางห้องปฏิบัติการมากกว่า 300 มิลลิลิตร ระหว่างกลุ่มผู้ป่วยที่เกิดภาวะโลหิตจางจากการเจ็บป่วยเรื้อรัง กับกลุ่มผู้ป่วยที่เกิดภาวะโลหิตจางจากสาเหตุอื่น ๆ (ตารางที่ 51)

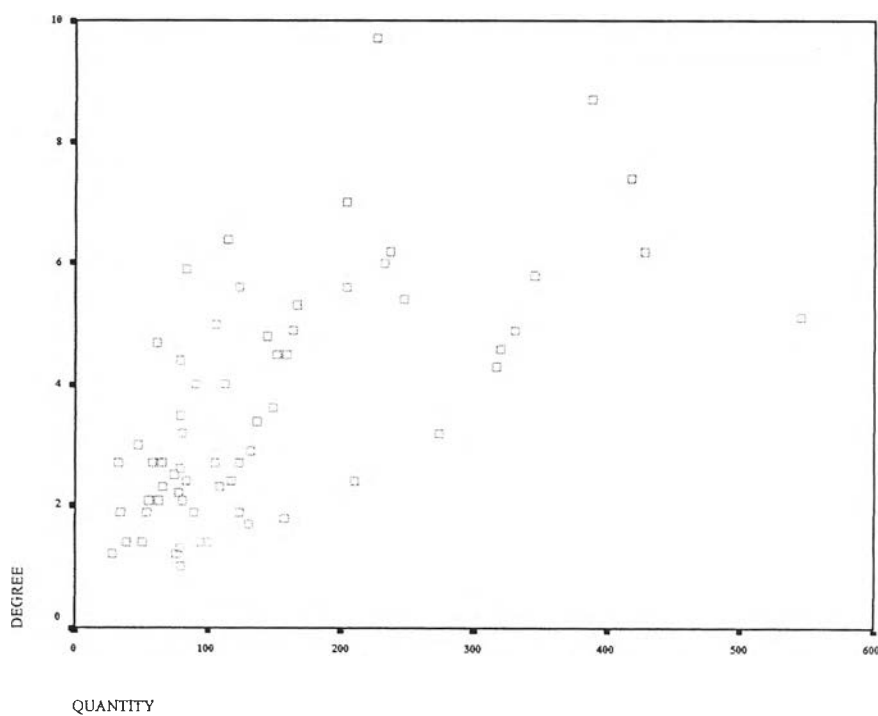
ตารางที่ 51 แสดงการเปรียบเทียบสัดส่วนของผู้ป่วยที่เสียเลือดจากการตรวจทางห้องปฏิบัติการมากกว่า 300 มิลลิลิตร ระหว่างกลุ่มผู้ป่วยที่เกิดภาวะโลหิตจางจากการเจ็บป่วยเรื้อรัง กับกลุ่มที่เกิดภาวะโลหิตจางจากสาเหตุอื่น ๆ

| | ผู้ป่วยที่เสียเลือดมากกว่า 300 มิลลิลิตร | ผู้ป่วยที่เสียเลือดน้อยกว่า 300 มิลลิลิตร | รวม (คน) |
|---|--|---|-----------|
| กลุ่มผู้ป่วยที่เกิดภาวะโลหิตจางจากการเจ็บป่วยเรื้อรัง | 0 | 18 | 18 |
| กลุ่มผู้ป่วยที่เกิดภาวะโลหิตจางจากสาเหตุอื่น ๆ | 8 | 30 | 38 |
| รวม | 8 | 48 | 56 |

P = 0.044 (Fisher's Exact Test)

พบความสัมพันธ์อย่างมีนัยสำคัญทางสถิติ ระหว่างปริมาณเลือดที่ใช้ตรวจทางห้องปฏิบัติการเฉลี่ย กับ การลดลงของระดับฮีโมโกลบินเฉลี่ย (แผนภูมิที่ 7)

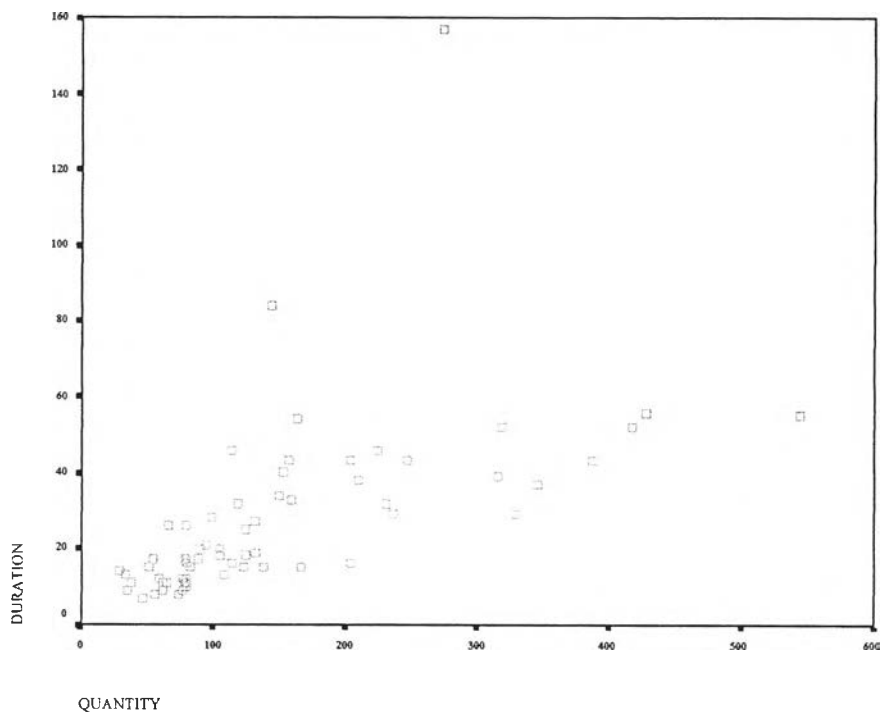
แผนภูมิที่ 7 แสดงความสัมพันธ์ระหว่างปริมาณเลือดที่ใช้ตรวจทางห้องปฏิบัติการเฉลี่ยกับการลดลงของระดับฮีโมโกลบินเฉลี่ย



$$r = 0.638, p < 0.05$$

พบความสัมพันธ์อย่างมีนัยสำคัญทางสถิติ ระหว่างปริมาณเลือดที่ใช้ตรวจทางห้องปฏิบัติการเฉลี่ย กับระยะเวลาที่อยู่ในโรงพยาบาลเฉลี่ย (แผนภูมิที่ 8)

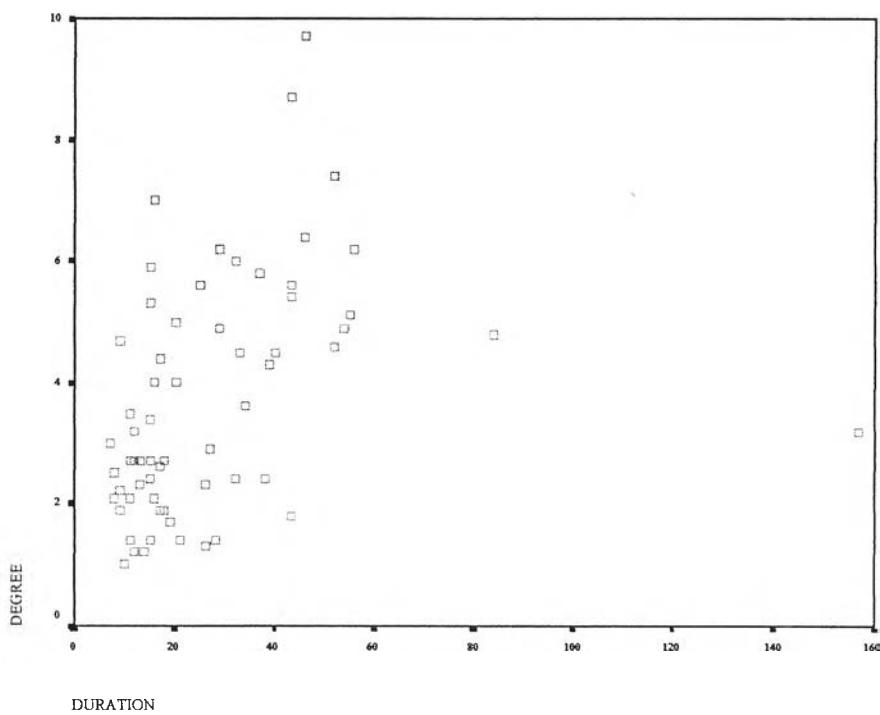
แผนภูมิที่ 8 แสดงความสัมพันธ์ระหว่างปริมาณเลือดที่ใช้ตรวจทางห้องปฏิบัติการเฉลี่ย กับระยะเวลาที่อยู่ในโรงพยาบาลเฉลี่ย



$$r = 0.583, p < 0.05$$

และพบความสัมพันธ์อย่างมีนัยสำคัญทางสถิติ ระหว่างการลดลงของระดับฮีโมโกลบิน
เฉลี่ย กับระยะเวลาที่อยู่ในโรงพยาบาลเฉลี่ย (แผนภูมิที่ 9)

แผนภูมิที่ 9 แสดงความสัมพันธ์ระหว่างการลดลงของระดับฮีโมโกลบินเฉลี่ย กับระยะเวลาที่อยู่ใน
โรงพยาบาลเฉลี่ย



$$r = 0.359, p = 0.004$$